

## 多功能水性铝粉颜料的制备及应用

陶畅<sup>1</sup>, 马志领<sup>1</sup>, 刘渊博<sup>2</sup>, 张春燕<sup>1</sup>, 解飞<sup>1</sup>

(1.河北大学 化学与环境科学学院, 河北 保定 071002; 2.沧州市环境信息中心, 河北 沧州 061001)

**摘要:**  $\text{SiO}_2$  包覆铝粉( $\text{Al}@\text{SiO}_2$ )是目前应用最广的水性金属颜料,但  $\text{Al}@\text{SiO}_2$  仍为银色,且不能耐强酸强碱腐蚀。依据  $\text{SnO}_2$  的特性, $\text{SnO}_2$  包覆铝粉( $\text{Al}@\text{SnO}_2$ )可制得耐腐蚀性更优的水性金属颜料,且该颜料兼具光催化活性和隐身性能。本文前驱体采用无水四氯化锡/异丙醇,反应介质采用异丙醇/水,探讨了核为铝片,壳为  $\text{SnO}_2$ ,桥为  $\text{Al}(\text{OH})_3$  或  $\text{Sn}(\text{OH})_2$  的  $\text{Al}@\text{SnO}_2$  在弱酸性条件下的制备原理。采用光学显微镜、X衍射、光催化降解效率和耐腐蚀性测试等表征手段,探讨了制备条件对  $\text{Al}@\text{SnO}_2$  水性颜料的耐腐蚀性,色相及光催化性能的影响。

**关键词:** 铝粉颜料; 氧化; 耐腐蚀性; 光催化活性

中图分类号:TQ624 文献标志码:A 文章编号:1000-1565(2019)02-0159-07

## Preparation and application of multifunctional waterborne aluminum pigment

TAO Chang<sup>1</sup>, MA Zhiling<sup>1</sup>, LIU Yuanbo<sup>2</sup>, ZHANG Chunyan<sup>1</sup>, XIE Fei<sup>1</sup>

(1. College of Chemistry and Environmental Science, Hebei University, Baoding 071002, China;

2. Environmental Information Center of Cangzhou City, Cangzhou 061001, China)

**Abstract:**  $\text{SiO}_2$  encapsulated aluminum pigment( $\text{Al}@\text{SiO}_2$ ) is the most widely used waterborne metal pigment. However,  $\text{Al}@\text{SiO}_2$  is still silvery and the anti-corrosion property in strong alkalinity and acidity media are limited. According to the characteristics of  $\text{SnO}_2$ , if  $\text{SnO}_2$  is encapsulated on aluminum pigment, the waterborne aluminum pigment with superior corrosion resistance and photocatalytic activity would be obtained. Here,  $\text{SnCl}_4$ /isopropyl as precursor in isopropyl/ $\text{H}_2\text{O}$  at weak acidity media, the preparation principle of  $\text{SnO}_2$  encapsulated aluminum pigment( $\text{Al}@\text{SnO}_2$ ) that used aluminum as core,  $\text{SnO}_2$  as shell and  $\text{Al}(\text{OH})_3$  or  $\text{Sn}(\text{OH})_2$  as bridge were studied. The effect of preparation conditions on the anti-corrosion resistance, hue and photocatalytic activity of  $\text{Al}@\text{SnO}_2$  were studied using optical microscopy, X-ray diffraction, anti-corrosion resistance and photocatalytic degradation efficiency test.

**Key words:** waterborne aluminum pigments; tin oxides; anti-corrosion resistance; photocatalytic activity

由于环境问题日益严峻,低污染的水性涂料的应用正逐步取代传统的溶剂型涂料。因此,促进了水性铝粉颜料的研发及推广,提高铝粉在水性涂料中的耐腐蚀性是制备水性铝粉颜料的关键。皮丕辉和刘辉等采用在铝片表面包覆有机<sup>[1-3]</sup>或无机  $\text{SiO}_2$  薄膜<sup>[4]</sup>的方法,制得了银白色  $\text{Al}@\text{SiO}_2$  水性铝颜料。但  $\text{Al}@\text{SiO}_2$  无法

收稿日期:2018-10-15

基金项目:国家自然科学基金青年科学基金资助项目(51708079)

第一作者:陶畅(1993—),女,河北保定人,河北大学在读硕士研究生,主要从事无机材料研究.E-mail:2697267030@qq.com

通信作者:马志领(1964—),女,河北河间人,河北大学教授,博士,主要从事无机材料的研究.E-mail:zhilingma838838@163.com

满足人们对彩色颜料的需求。韩凯<sup>[5]</sup>和雷美娟<sup>[6]</sup>分别进一步在  $\text{SiO}_2$  表面包覆  $\text{Fe}_2\text{O}_3$  和  $\text{Ag}$ , 李晓光<sup>[7]</sup>则着重研究了氧化铁直接包覆的铝粉, 殷国祥等<sup>[8]</sup>则利用  $\text{SiO}_2$  和酞菁蓝颜料, 得到了不同颜色的彩色铝粉颜料。但是由于硅酸的  $pK_{a2}$  和  $\text{Fe}(\text{OH})_3$  的  $pK_{\text{sp}}$  分别为 11.8 和 38.55<sup>[9]</sup>, 在强酸或强碱介质中的水性铝粉颜料的耐腐蚀性有待提高。

$\text{SnO}_2$  具有较强的耐酸碱性( $\text{Sn}(\text{OH})_4$  的  $pK_{\text{sp}}=56$ <sup>[9]</sup>), 较高的折射率<sup>[10]</sup>和低红外发射率<sup>[11]</sup>, 因此可推测  $\text{SnO}_2$  薄膜包覆的铝粉( $\text{Al}@\text{SnO}_2$ )具有更优的耐腐蚀性、彩色效应以及隐身功能。另外, 纳米  $\text{SnO}_2$  半导体材料已成为光催化降解领域的研究热点。但纳米  $\text{SnO}_2$  光催化降解废水之后, 悬浮于水中, 对水环境和人体健康造成危害, 进而限制了其在废水处理领域的应用。为了弥补这一缺陷, Wu 等<sup>[12]</sup>研究了动物骨骼负载纳米  $\text{SnO}_2$  光催化剂, 但负载到动物骨骼上的光催化剂很容易脱落, 不易于回收。Balázs Réti 等<sup>[13]</sup>研究碳纳米管负载  $\text{SnO}_2/\text{TiO}_2$  光催化剂, 但使用碳纳米管作为载体成本太高。若处理染料废水使用  $\text{Al}@\text{SnO}_2$  用作光催化剂, 由于负载纳米  $\text{SnO}_2$  的铝粉为微米级颗粒, 易于回收, 并可进一步用作水性铝粉颜料, 实现  $\text{SnO}_2$  的回收。

本文利用 X 线衍射仪(XRD)、扫描电子显微镜(SEM)、多角度分光光度计、光学显微镜(OM)等测试光学性能、光催化性能和耐腐蚀性, 探究  $\text{SnO}_2$  在铝粉表面的锚固机理以及制备条件对  $\text{Al}@\text{SnO}_2$  水性颜料的耐腐蚀性, 色相及光催化性能的影响。

## 1 实验部分

### 1.1 试剂

保定吉诺金属制品有限公司友情提供铝银浆(铝质量分数 74%, 比表面积为  $3.43 \text{ m}^2/\text{g}$ ), 丙烯酸树脂乳液和丙二醇单甲醚。无水四氯化锡( $\text{SnCl}_4$ ), 异丙醇( $\text{C}_3\text{H}_7\text{OH}$ ), 氢氧化钠(NaOH), 氨水和甲基橙等均为市售分析纯试剂。

### 1.2 样品制备

在三颈烧瓶中放入铝银浆与 40 mL 异丙醇, 在 45 °C 恒温搅拌 1 h 后, 以 0.1 mL/min 的速度匀速加入 6 mL 质量分数 10% 的  $\text{H}_2\text{O}_2$  水溶液。然后, 在 4 h 内滴入 25 mL 异丙醇稀释的  $\text{SnCl}_4$  溶液, 同时滴入氨水以维持溶液的 pH 值稳定; 再继续搅拌 3 h, 最后抽滤、室温风干, 得到氧化锡包覆的铝粉( $\text{Al}@\text{SnO}_2$ )。按质量比为 4 : 1 称取  $\text{Al}@\text{SnO}_2$  与丙二醇单甲醚, 捏合, 得到水性铝银浆(WAl@ $\text{SnO}_2$ )。各样品具体制备条件见表 1。

表 1 样品  $\text{Al}@\text{SnO}_2$  的制备  
Tab.1 Preparation of sample  $\text{Al}@\text{SnO}_2$

Sample	$m$ (铝粉)/g	$(m_{\text{SnO}_2}/S_{\text{Al}})/(g \cdot m^{-2})^*$	pH
Sample1			4.50
Sample2	5	0.20	4.90
Sample3			5.83
Sample4			6.27
Sample5			4.54
Sample6	10	0.10	4.95
Sample7			5.86
Sample8			4.37
Sample9	15	0.07	5.01
Sample10			5.79
Sample11			6.17
Sample12	20	0.05	4.60
Sample13			5.83
$\text{SiO}_2$	0		5.80

\* 加入  $\text{SnO}_2$  的质量与铝粉表面积的比值。

### 1.3 性能测试与表征

1.0 g WAl@SnO<sub>2</sub> 放入 100 mL 锥形瓶中, 加入 60 mL 0.001 mol/L 的 NaOH 溶液后迅速封闭, 记录析氢量与时间, 由此评价样品的耐酸碱性能。利用 Phenom ProX Scanning electron microscopy (Phenom World, Netherlands) 对在索氏提取器中丙酮洗涤 72 h、60 °C 烘干后的 Al@SnO<sub>2</sub> 进行形貌分析。

称取一定量的丙烯酸树脂乳液与 WAl@SnO<sub>2</sub> 按质量比 100 : 7 混匀, 然后, 均匀涂覆于盖玻片, 在 640 倍的光学显微镜(qimaging micropublisher 5.0 RTV)下观察 60 °C 烘干的样品的包覆效果。称取一定量的水性铝银浆与丙烯酸树脂乳液按质量比 1 : 4 混合均匀, 并在黑白遮盖力板上涂覆涂膜, 薄膜厚度为 100 μm, 在 60 °C 烘箱中烘干后, 利用 X-Rite MA-98 多角度分光光度测试(America, D65 illuminant) *L*<sup>\*</sup>、*a*<sup>\*</sup>、*b*<sup>\*</sup> 值。

在 50 mL, 10 mg/L 的甲基橙溶液(MO, pH=6.0)中加入含有 5 mg SnO<sub>2</sub> 的 Al@SnO<sub>2</sub> 样品, 放入光化学反应仪中, 避光搅拌 30 min, 使体系到达吸附-脱附平衡后, 在高压汞灯照射下, 每隔一定时间取样, 离心; 测上层清液最大吸收波长处(464 nm)的吸光度值(*A*), 计算脱色率(*De*), 其中 *A*<sub>0</sub> 为暗反应之后的吸光度值。

$$De = \frac{A_0 - A}{A_0} \times 100\%.$$

## 2 结果与讨论

### 2.1 SnO<sub>2</sub> 锚固在铝粉表面

图 1 为丙烯酸树脂乳液与 WAl@SnO<sub>2</sub> 混合后制得涂膜在透射显微镜下的图像, 透明颗粒为没有包覆到铝粉表面的 SnO<sub>2</sub> 颗粒。比较图 1 中各图像可得到结论: 随着 *m*<sub>SnO<sub>2</sub> / *S*<sub>Al</sub> 减小透明颗粒减少, 锚固效果提高; 但随介质 pH 升高, 包覆 pH 为 5.0 左右透明颗粒最少, SnO<sub>2</sub> 锚固在铝粉上的效果最佳; 透明颗粒较少的样品是 5、6、7、9、10 和 13。图 2 为 WAl@SnO<sub>2</sub> 在 NaOH 溶液中析氢量随时间的变化曲线。由图 2 可见, 样品 5、6、7、9 和 10 在 NaOH 溶液中析氢速度慢, 总析氢量小, 因此具有较好的耐腐蚀性能。当 *m*<sub>SnO<sub>2</sub> / *S*<sub>Al</sub> = 0.1~0.07 g/m<sup>2</sup>, 介质 pH 为 5.0~5.8 时, 有利于 SnO<sub>2</sub> 锚固在铝粉表面, 从而形成防腐层。</sub></sub>

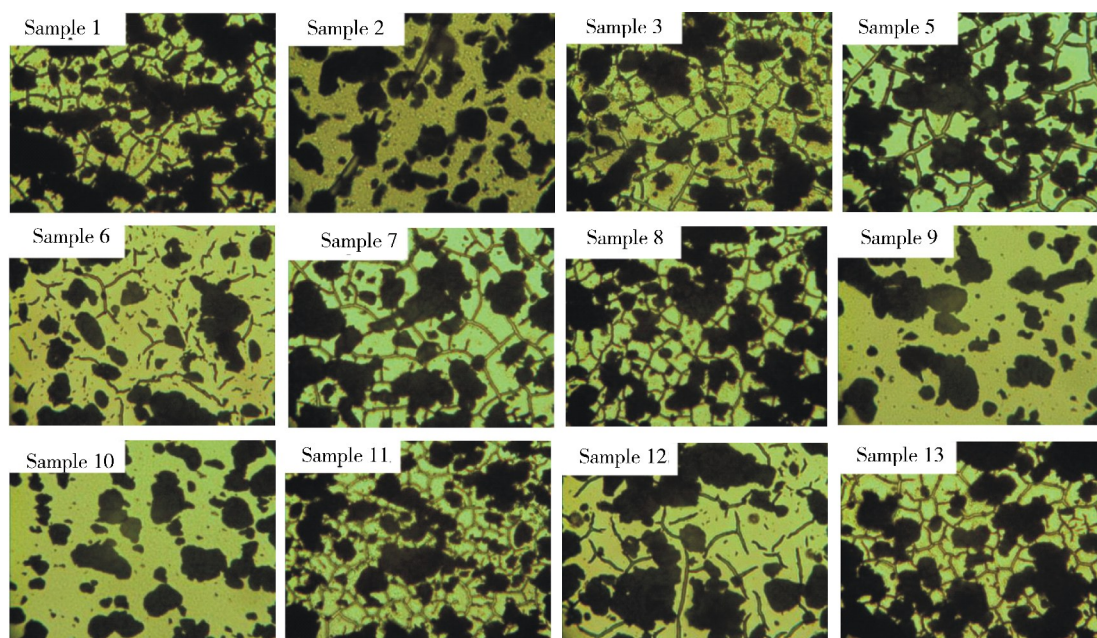


图 1 WAl@SnO<sub>2</sub> 制得的涂膜的 OM

Fig.1 Optical microscope images of coating films that using WAl@SnO<sub>2</sub>

## 2.2 物相分析

图 3 为样品 1-4 的 XRD 图。在  $2\theta$  约为  $38.5, 44.7, 65.2$  和  $78.3^\circ$  处为金属铝(111), (200), (220), (311) 晶面的衍射峰(JCPDS, NO.65-2869), 说明金属铝是  $\text{Al}@\text{SnO}_2$  的主要成分。在  $2\theta$  约  $26.61, 33.89$  和  $51.78^\circ$  处的衍射峰对应锡石  $\text{SnO}_2$  (JCPDS, NO.41-1445) 的(110), (101), (211) 晶面。证明了金红石型结构的  $\text{SnO}_2$  是铝片表面包覆的锡氧化物的主要成分。 $\text{NH}_4\text{Cl}$  晶体的衍射峰强度较低, 出现在  $23.0, 47.0, 52.7, 58.3, 68.5^\circ$ 。样品 1 和样品 2 在  $32.9^\circ$  的衍射峰与  $\text{Sn}_3\text{O}_4$  (JCPDS, NO.20-1293) 相吻合, 该峰在样品 3 和样品 4 的图中消失, 表明在介质 pH 较低时, 铝片表面存在的金属铝可将  $\text{Sn}(\text{IV})$  还原成  $\text{Sn}(\text{II})$ , 包覆介质 pH 的升高抑制  $\text{Sn}(\text{II})$  的形成。因此,  $\text{SnO}$  和  $\text{SnO}_2$  是铝粉表面的包覆层, 其比例随包覆由介质 pH 决定。

## 2.3 $\text{Al}@\text{SnO}_2$ 的光催化活性

偶氮染料污染性强, 对水环境造成严重危害。本文以甲基橙作为代表模拟偶氮染料废水, 选择锚固效果较好的样品 6、7、9 和 10 来探究  $\text{Al}@\text{SnO}_2$  的制备条件对偶氮染料光降解作用催化活性的影响。图 4 是 MO 的脱色率随光照时间的变化。由图 4 可见,  $\text{SnO}_2$  的存在明显加速 MO 的降解。而  $\text{Al}@\text{SnO}_2$  的样品 6、7 和 10 较纯  $\text{SnO}_2$  的降解率较快且高。所以当包覆介质 pH=5.0~5.8,  $m_{\text{SnO}_2}/S_{\text{Al}}=(0.07\sim 0.10)\text{g/m}^2$  时, 所得  $\text{Al}@\text{SnO}_2$  光催化活性优于纯  $\text{SnO}_2$ 。

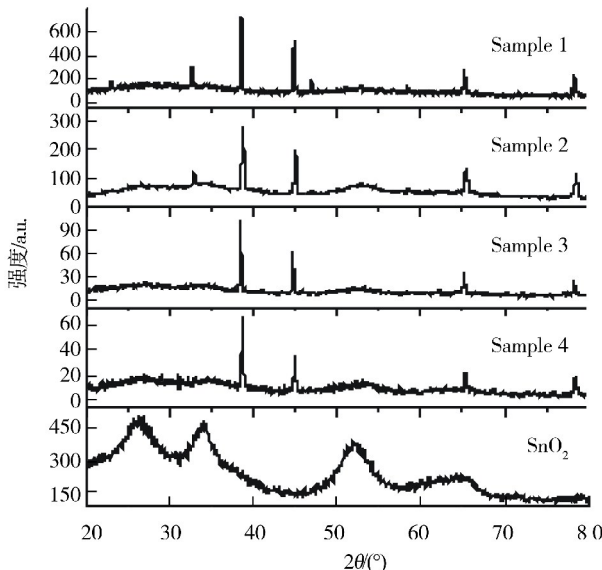


图 3  $\text{Al}@\text{SnO}_2$  的 XRD 谱

Fig.3 XRD patterns of  $\text{Al}@\text{SnO}_2$

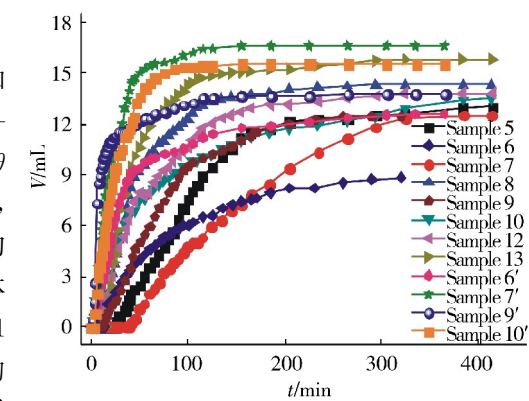


图 2  $\text{Al}@\text{SnO}_2$  的耐腐蚀性

Fig.2 Corrosion resistance of  $\text{Al}@\text{SnO}_2$

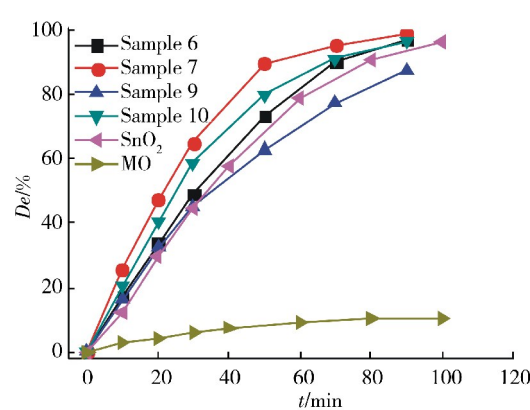


图 4 MO 的脱色率随光照时间的变化

Fig.4 Decolorization rate of MO varies with the irradiation time

对完成催化降解任务的催化剂进行回收, 并进行耐腐蚀性能测试。 $6'$ 、 $7'$ 、 $9'$  和  $10'$  分别是  $6$ 、 $7$ 、 $9$  和  $10$  完成催化降解任务后的样品。图 2 显示完成催化降解的样品与未完成催化降解任务的样品相比, 耐腐蚀性略有降低, 但本文制备的样品比 Li<sup>[4]</sup> 所制备的样品具有更强的耐腐蚀性。

## 2.4 $\text{Al}@\text{SnO}_2$ 的色相

本文使用多角度分光光度计测定  $\text{Al}@\text{SnO}_2$  用于光催化降解前后的  $L^*$ 、 $a^*$  和  $b^*$  值, 如表 2 所示。铝粉表面附着  $\text{SnO}_2$  微粒, 与铝粉相比,  $\text{Al}@\text{SnO}_2$  表面粗糙度增大。当光照射到  $\text{Al}@\text{SnO}_2$  样品表面时, 发生漫反

射现象.光泽度下降使  $L^*$  降低,且高反射率角度均为正值,以上原因致使样品的颜色为卡其色.在红外光范范围内,铝粉具有隐身功能是由于其自身具有低红外发射率;SnO<sub>2</sub>包覆铝粉后的产品具有低的光泽度和其柔和的卡其色,使铝粉颜料在可见光范围隐身功能.表2的  $L^*$ 、 $a^*$  和  $b^*$  值说明,在催化降解前后 Al@SnO<sub>2</sub> 的色相变化不大,样品在完成催化降解任务之后,仍可回收用作水性铝粉颜料,实现零二次污染.

表2 Al@SnO<sub>2</sub> 制得涂膜的  $L^*$ 、 $a^*$ 、 $b^*$  值  
Tab.2  $L^*$ 、 $a^*$ 、 $b^*$  values of sample Al@SnO<sub>2</sub>

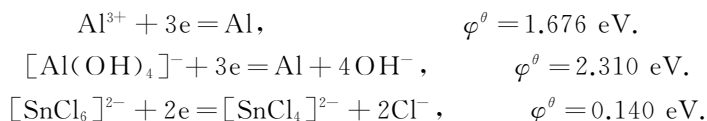
45°as—15°*	$L^*$	$a^*$	$b^*$	45°as15°*	$L^*$	$a^*$	$b^*$
铝银浆	185.41	-0.57	1.57	铝银浆	154.30	-0.16	-2.22
Sample 6	137.47	1.15	10.55	Sample 6	120.95	1.01	7.96
Sample 6'	133.92	0.75	10.02	Sample 6'	113.11	0.57	7.62
Sample 7	147.83	0.81	8.37	Sample 7	129.88	0.68	5.37
Sample 7'	138.60	0.59	9.77	Sample 7'	119.90	0.60	7.56
Sample 9	138.29	1.02	9.28	Sample 9	124.88	1.00	7.68
Sample 9'	132.68	0.88	10.35	Sample 9'	124.11	0.92	7.74
Sample 10	144.12	0.65	7.41	Sample 10	128.78	0.57	4.72
Sample 10'	144.20	0.46	7.25	Sample 10'	126.59	0.38	4.47
15°as—15°*	$L^*$	$a^*$	$b^*$	15°as15°*	$L^*$	$a^*$	$b^*$
铝银浆	153.39	-0.48	0.25	铝银浆	144.98	-0.84	-0.67
Sample 6	118.65	0.93	8.29	Sample 6	119.96	0.54	7.26
Sample 6'	116.92	0.89	8.56	Sample 6'	113.07	0.48	7.31
Sample 7	126.33	0.27	5.71	Sample 7	125.96	0.02	4.34
Sample 7'	119.91	0.25	5.05	Sample 7'	119.02	0.07	4.17
Sample 9	118.55	0.74	7.30	Sample 9	122.90	0.51	6.69
Sample 9'	123.82	0.65	7.17	Sample 9'	123.20	0.47	7.36
Sample 10	123.69	0.13	4.83	Sample 10	126.51	0.02	4.03
Sample 10'	122.32	0.08	3.85	Sample 10'	123.51	0.04	3.21

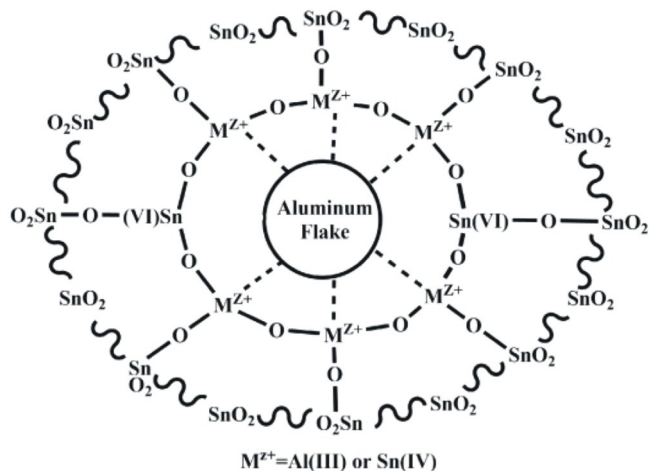
\* 光源角度与检测角度.

## 2.5 锚固及光催化机理

SnO<sub>2</sub> 在铝粉表面的锚固和生长决定了 Al@SnO<sub>2</sub> 的各种功能. 图5简明描述了核为铝片, 壳为 SnO<sub>2</sub>, 桥为 Al(OH)<sub>3</sub> 或 Sn(OH)<sub>2</sub> 的 Al@SnO<sub>2</sub> 在弱酸性条件下的锚固及耐腐蚀性能和光催化活性机理:

在弱酸环境下, 铝粉表面被 H<sub>2</sub>O<sub>2</sub> 氧化可形成水铝石或勃姆石结构的 Al(OH)<sub>3</sub><sup>[14]</sup>. 其等电点分别是7.5和9.1, 当 pH<7.5时, 铝片表面净电荷为正. SnCl<sub>4</sub>/异丙醇前驱体中, 可形成[SnCl<sub>6</sub>]<sup>2-</sup>, [SnCl<sub>x</sub>(OR)<sub>6-x</sub>]<sup>2-</sup> 和[SnCl<sub>x</sub>(OR)<sub>4-x</sub>]<sup>2-</sup> 等配合物. 1) [SnCl<sub>x</sub>(OR)<sub>6-x</sub>]<sup>2-</sup> 和[SnCl<sub>6</sub>]<sup>2-</sup> 可被直接吸附在铝片表面, 它们中的一些 Sn(IV) 被还原形成 Sn(II), 形成 Al@Sn(OH)<sub>2</sub>@SnO<sub>2</sub> 结构, Sn(IV) 被还原形成 Sn(II) 的相关标准电极电位值<sup>[9]</sup> 如下:



图 5 样品  $\text{Al}@\text{SnO}_2$  的锚固和掺杂机理Fig.5 Anchoring and doping mechanism of sample  $\text{Al}@\text{SnO}_2$ 

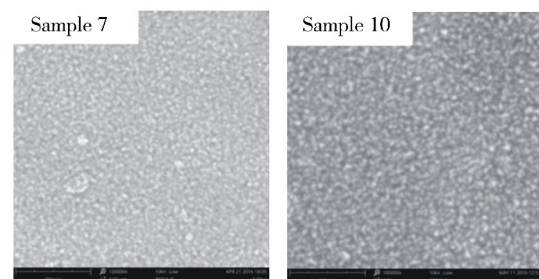
同时，在水溶液中，羟基离子( $\text{OH}^-$ )取代配合物中的配体，产物进一步缩合自聚生成可溶性的  $\text{SnO}_2$  晶种。因  $\text{SnO}_2$  的等电点为 3.9<sup>[9]</sup>，所以 pH 在 3.9 和 7.5 之间时，带正电荷的铝片与带负电荷的  $\text{SnO}_2$  晶种相互吸引；2) 形成  $\text{Al}@\text{Al(OH)}_3@\text{SnO}_2$  异质结构；3) 也可以进一步自聚成核形成  $\text{SnO}_2$  颗粒后，再吸附在铝片表面；4) 以透明颗粒分散在介质中；上述反应发生的关键因素是  $\text{SnO}_2$  晶种的供给速率。

介质的 pH 较低，缺少  $\text{OH}^-$ ，有利于 1) 和 2) 的发生，如样品 1 和样品 2 的 XRD 所示， $\text{SnO}$  和  $\text{SnO}_2$  的混合物包覆于铝粉表面。反应介质 pH 的升高，加速了  $\text{SnCl}_4$ /异丙醇前驱体的水解，抑制了  $\text{Sn}(\text{OH})_2$  的形成；但在铝粉表面的勃姆石型  $\text{Al}-\text{OH}$  增多，有利于  $\text{Sn}(\text{II})-\text{OH}$  和  $\text{Al}-\text{OH}$  的缩合，促进反应 2) 的发生，在  $\text{SnO}_2$  和铝片界面之间形成  $\text{Al}(\text{III})$  取代的  $\text{Sn}(\text{IV})$ 。这一方面促进  $\text{SnO}_2$  锚固在铝粉表面，另一方面提高了  $\text{SnO}_2$  的氧空位浓度，促使光生电子-空穴对分离，光催化活性得到提高。因此当 pH=5.0~5.8 时，如样品 6 和 7 的耐腐蚀性能及光催化性能均为最佳。包覆介质的 pH 过高时，由于  $\text{SnCl}_4$  与水剧烈反应 ( $\text{Sn}(\text{OH})_4$  的  $\text{pK}_{\text{sp}}=56$ <sup>[9]</sup>)，导致  $\text{SnO}_2$  晶种供给速率加快，致使  $\text{SnO}_2$  不能锚固在铝粉表面，如图 2 中样品 11 所示。

$m_{\text{SnO}_2}/S_{\text{Al}}$  过小不利于提高铝粉颜料的耐腐性能，其原因是  $\text{SnO}_2$  壳层薄而疏； $m_{\text{SnO}_2}/S_{\text{Al}}$  过大，则增大了发生自聚形成大颗粒  $\text{SnO}_2$  的可能性；另外，铝粉表面密集分布锚固基团 ( $\text{Al}-\text{OH}$ )，表面的正电荷增加，吸附  $\text{SnO}_2$  的速率加快并且异核生长，即  $\text{SnO}_2$  的供给速率增大，将导致铝粉表面的  $\text{SnO}_2$  包覆层十分粗糙，即不利于提高铝粉的耐腐蚀性，也不利于提高铝粉的锚固效率。 $\text{SnO}_2$  包覆铝粉对介质 pH 和  $m_{\text{SnO}_2}/S_{\text{Al}}$  均有要求，当介质 pH 为 5.0~5.8,  $m_{\text{SnO}_2}/S_{\text{Al}}=0.07\sim0.10 \text{ g/m}^2$  时，可形成纳米尺寸的  $\text{SnO}_2$  包覆层，包覆层平滑、致密，如图 6 所示。

### 3 结论

选择耐强酸强碱、高折射率的  $\text{SnO}_2$  包覆铝粉，可制得具有优良耐腐蚀性的卡其色水性  $\text{Al}@\text{SnO}_2$  颜料，降低了铝粉的反射率，使适于做隐身颜料；具有催化活性的  $\text{SnO}_2$  负载在微米级铝粉上用于污水处理，易于回收避免二次污染。 $\text{SnO}_2$  在铝粉表面的锚固和生长影响  $\text{Al}@\text{SnO}_2$  的各种功能。 $\text{pH}>6$  的介质中  $\text{SnO}_2$

图 6  $\text{SnO}_2$  颗粒在铝片表面的分布Fig.6 Distribution of  $\text{SnO}_2$  particals on the aluminum flakes

晶种易自聚形成  $\text{SnO}_2$  大颗粒;  $m_{\text{SnO}_2}/S_{\text{Al}} > 0.10 \text{ g/m}^2$  时  $\text{SnO}_2$  在铝粉上的锚固面太少, 以上 2 种情况均不利于铝粉表面锚固  $\text{SnO}_2$ .  $m_{\text{SnO}_2}/S_{\text{Al}} < 0.07 \text{ g/m}^2$  时铝粉提供的锚固面太大, 致使  $\text{SnO}_2$  包覆层不能完全覆盖铝粉表面, 耐酸碱能力降低;  $\text{SnO}_2$  锚固在铝粉表面需要借助  $\text{Al}-\text{OH}$  或  $\text{Sn}(\text{II})-\text{OH}$  形成的桥, 当介质溶液  $\text{pH} < 5$  时有利于  $\text{Sn}(\text{OH})_2$  的形成, 但不利于提高  $\text{SnO}_2$  的光催化活性; 当介质  $\text{pH}$  为  $5.0 \sim 5.8$  且  $m_{\text{SnO}_2}/S_{\text{Al}} = (0.07 \sim 0.10) \text{ g/m}^2$  时,  $\text{SnO}_2$  晶种以  $\text{H}_2\text{O}_2$  氧化铝粉表面形成的勃姆石结构的  $\text{Al}-\text{OH}$  为核结晶, 在  $\text{SnO}_2$  壳和铝片之间形成  $\text{Al}(\text{III})$ 掺杂的  $\text{SnO}_2$ , 提高了  $\text{SnO}_2$  的催化活性.

#### 参 考 文 献:

- [1] 皮丕辉,陈军,李利君,等.纳米  $\text{SiO}_2$  包覆改性薄片铝粉颜料及其耐酸性研究[J].湖南大学学报(自然科学版),2009,36(12):53-58.
- [2] 刘辉,叶红齐,林天全,等.颜料铝粉包覆  $\text{SiO}_2$  的研究[J].材料保护,2008,41(1):38-40.DOI:10.3321/j.issn:1005-023X.2006.z1.082.
- [3] 刘辉,叶红齐,张赢超.丙烯酸-苯乙烯原位共聚包覆颜料铝粉[J].中国粉体技术,2007,13(3):18-20.DOI:10.3969/j.issn.1008-5548.2007.03.006.
- [4] LI L J, PI P H, WEN X F, et al. Optimization of sol-gel coatings on the surface of aluminum pigments for corrosion protection [J].Corrosion Science,2008,50:795-803.DOI:10.1016/j.corsci.2007.11.002.
- [5] 韩凯,张赢超,叶红齐.彩色铝粉  $\text{Fe}_2\text{O}_3/\text{SiO}_2/\text{Al}$  的液相沉积制备与表征[J].中国有色金属学报,2009,21(12):3169-3174.DOI:10.19476/j.ysxb.1004.0609.2011.12.028.
- [6] 雷美娟,王莉玮,高仁金,等.双层包覆法制备彩色铝颜料[J].化学工程与装备,2015,7:24-26.
- [7] 李晓光.片状磁性吸波材料的制备及其兼容隐身性能研究[D].南京:南京航空航天大学,2014.
- [8] 殷国祥,孙勇,杨宁,等.片状铝粉包覆着色的研究[J].南方金属,2009,171:22-25.DOI:10.3969/j.issn.1009-9700.2009.06.007.
- [9] J A 迪安.兰氏化学手册[M].第 13 版.科学出版社,1991.
- [10] 丁尔峰,崔容强,周之斌,等.采用 USP-CVD 沉积  $\text{SnO}_2$  透明导电膜-F、Sb掺杂及特性研究[J].电源技术,2004,28(12):779-783.DOI:10.3969/j.issn.1002-087X.2004.12.013.
- [11] 李春鸿,王嵒.用水溶液常压蒸发热解法制备  $\text{SnO}_2$  薄膜及其性能研究[J].太阳能学报,1985,6(4):405-411.
- [12] WU Y, WANG H, CAO M D, et al. Animal bone supported  $\text{SnO}_2$  as recyclable photocatalyst for degradation of rhodamine B dye[J].Journal of Nanoscience and Nanotechnology,2015,15(9):6495-6502.DOI:10.1166/jnn.2015.10781.
- [13] Balázs Réti, Nóra Péter, András Dombi, et al. Preparation of  $\text{SnO}_2-\text{TiO}_2/\text{MWCNT}$  nanocomposite photocatalysts with different synthesis parameters[J].Physica Status Solidi B-Basic Solid State Physics,2013,250(12):2549-2553.DOI:10.1002/pssb.201300076.
- [14] 杨岳洋,江书安,李建军,等.pH 对氢氧化铝晶型影响分析[J].无机盐工业,20017,49(11):39-41.

(责任编辑:梁俊红)